



ISSN 0250-3301 CODEN HCKHDV
HUANJING KEXUE

- 主办 中国科学院生态环境研究中心
- ■出版科学出版社



2019

Vol.40 No.12 第40卷 第12期

ENVIRONMENTAL SCIENCE

第40卷 第12期 2019年12月15日

目 次(卷终)

研究报告 言注紫红色系 DM、运选规划和变换结果证件
京津冀秋冬季 PM _{2.5} 污染概况和预报结果评估
2016 2017 在区域相化业区百方郊 DM 44 公共公及中海网长
2016~2017 年采暖期华北平原东部 PM _{2.5} 组分特征及来源解析
雅逸琴,王杰,高健,徐仲均,车飞,马彤,杨艳,刘素,闫璐璐(5202) 電不同发展阶段下污染气体和水溶性离子变化特征分析 ················王振彬,刘安康,卢文,杨晓旻,王红磊,陈魁,夏丽(5213)
上海郊区家庭妇女 PM _{2.5} 重金属组分暴露水平、来源与健康风险
工[4]外区外处列又 I M _{2.5} 里亚周纽刀录路小 、木(赤))) () () () () () () () ()
罗燃燃,戴海夏,张蕴晖,乔利平,马英歌,周敏,夏斌,朱清扬,赵迎亚,黄成(5224) 固定污染源可凝结颗粒物测量方法 蒋靖坤,邓建国,王刚,张莹,李妍菁,段雷,郝吉明(5234) 家具企业挥发性有机物排放特征及其环境影响 张嘉妮,曾春玲,刘锐源,姚懿娟,柯云婷,范丽雅,叶代启(5240)
家且企业挥发性有机物推放特征及其环谙影响 3234)
抗生素企业 VOCs 排放清单及影响范围模拟 竹涛, 吕怡蓉, 边文璟, 牛文凤, 袁前程, 段二红, 于洋, 林军(5250)
新乡市机动车排放对道路灰尘中重金属与多环芳烃污染的影响
·····································
成都市道路积尘中全氟化合物的污染特征及暴露风险评估 方淑红,朱和祥,叶芝祥,印红玲,孙静(5265)
祁连山北坡中段降水稳定同位素特征及水汽来源分析 张百娟, 李宗省, 王昱, 李永格, 吕越敏, 袁瑞丰, 桂娟(5272)
长江南京段水源水中抗生素的赋存特征与风险评估
再秋季混凝剂对复入经氨化瞄丰除地主水中氨氨和经的影响 程丽木 若狂林 程亚 改蕊茲 阮昭音 卢孚(5204)
浙江省 H 市供水系统消毒副产物及其健康风险评价 ····································
海江省 H 市供水系统消毒副产物及其健康风险评价····································
川西高原河流水体 CDOM 的光化学降解特性 ····································
一畔医区里型多色于小流域经流及多幅流头等征 粤墙霞 刈足 双井井 先手 土伟 万方 欧阳文姐 剥劲粉() 33(1)
九龙江流域河流磷输出对土地利用模式及水文状况的响应 黄亚玲,唐莉,黄金良,肖才荣(5340)
九龙江流域河流磷输出对土地利用模式及水文状况的响应 黄亚玲, 唐莉, 黄金良, 肖才荣(5340) 不同尺度土地利用方式对鄱阳湖湿地水质的影响 方娜, 刘玲玲, 游清徽, 田娜, 吴燕平, 阳文静(5348) 太湖草藻型湖区磷赋存特征及其环境意义
太湖草藻型湖区磷赋存特征及其环境意义 耿雪,文帅龙,孙培荣,徐楚天,李大鹏,黄勇(5358)
太湖竺山湾沉积物碳氮磷分布特征与污染评价 方家琪,祁闯,张新厚,韩睿明,黄和笑,王卓森,王国祥(5367)降雨强度对洱海流域风羽河氮磷排放的影响
降雨强度对洱海流域凤羽河氮磷排放的影响
李晓虹,雷秋良,周脚根,张亦涛,李影,胡万里,武淑霞,翟丽梅,王洪媛,刘宏斌(5375)
外源 Ca ²⁺ 和 K ⁺ 作用下河口区碱蓬水质净化效果和耐盐碱提高机制 ········· 吴丹, 孙萍, 陈广琳, 陈友媛, 彭昌盛(5384)
泽泻(Alisma orientale)对全氟化合物的吸收和传输特征-浓度的影响 ········ 王团团,李贝贝,王赛,华佩,陈军,应光国(5394)
复合人工湿地中反硝化除磷作用的发生及其稳定性 刘冰,郑煜铭,李清飞,赵承美,魏巍,张凯(5401) 错、镧和镧锆改性沸石添加控制底泥磷释放的对比 刘婷,赵钰颖,林建伟,詹艳慧,秦琴(5411) 生物炭结构性质对氨氮的吸附特性影响 陈梅,王芳,张德俐,易维明(5421) 溶解氧对悬浮与附着生长系统短程硝化反应的影响机制 王嗣禹,刘灵婕,王芬,季民(5430) 间歇恒定/梯度曝气对 SNAD 工艺启动的影响 李冬,刘志诚,徐贵达,李帅,张杰(5438)
错、镧和镧错改性沸石添加控制底泥碎释放的对比····································
生物灰结构性质对氨氮的吸附特性影响
溶解氧对悬浮与附看生长系统短程帕化反应的影响机制 ····································
甲釟但定/ 桥尺骤飞剂 SNAD 上乙后列的影响
央基灰俣式 \ \ \ \ \ \ \ \ \ \ \ \ \ \ \ \ \ \ \
阴忡噬飞冽项印行小好判积杠行化余纪的影响
共基质模式下铁盐脱氮反应器的运行性能及微生物学特征
本 J GEE 的 1998~2018 午尔伊美工地刊用文化列生芯示机服务用自的影响 一
基于 MDS 与 TOPSIS 模型的滨海滩涂围垦区土壤质量评价
本水 增加对闸汀河口淡水湖汐湿地孔 陷水 地球 化 学 特
他小星加州四江河口波水闸沙巡巡记像水地冰几子河ш及 00_2 相 011_4 肝放起重印影响 00_2 相 011_4 肝放起重印影响 00_2 一个一个一个一个一个一个一个一个一个一个一个一个一个一个一个一个一个一个一个
养殖塘 CH. 排放特征及其影响因素 干娇 肖薇 张秀芳 张歌 张文庆 刘琚 陈争 著保华 李相辉(5503)
施肥对高粱地土壤呼吸及其温度敏感性的影响
高硒高镉区土地安全区划方法 王锐、侯宛芩、李雨潼、余涛、陈娟(5524)
基于 MDS 与 TOPSIS 模型的浜姆滩深围垦区土壤质量评价
水铝钙石对不同镉污染农田重金属的钝化效果及机制 吴秋梅,刘刚,王慧峰,胡文友,黄标(5540)
狮子山矿区不同土地利用类型对土壤微生物群落多样性的影响 黄健,朱旭炎,陆金,孙雨,赵兴青(5550)
林地转型耕地对东北丘陵区白浆土 cbbL 细菌群落丰度和结构的影响 ··· 王蕊,吴宪,李刚,修伟明,王丽丽,张贵龙(5561)
粤港澳大湾区场地污染特征、治理修复与环境管理研究专辑
粤港澳大湾区污染场地土壤风险管控制度体系建设与思考···········常春英,董敏刚,邓一荣,肖荣波,刘丽丽(5570)粤港澳大湾区土壤污染问题计量及可视化分析 ····································
粤港澳大湾区土壤污染问题计量及可视化分析 张宁,张盛,杨海超,张建通(5581)
城市生活垃圾填埋场的物质存量特征及其环境影响:以粤港澳大湾区为例 马仕君,周传斌,杨光,赵志岚,刘懿颉(5593)
图洪澜大湾区丘陵州带基由镀场州重全属污热特征与迁移抑律分析
粤港澳大湾区典型化工场地苯系物污染特征及迁移规律····································
粤港澳大湾区典型化工场地苯系物污染特征及迁移规律
·····································
钉铁砂-晶里酸复合材料对铅镉污染土壤的钝化修复性能 ····································
从大大玉山鱼区土壤租物体系里金属过移过程及风险评价 ····································
Hydrus-1D 侯 型任推于基丁保护地下水的土壤风险控制值中的应用
《 小児門子 》
粤港澳大湾区典型化工场地苯系物污染特征及迁移规律



第 40 卷 第 12 期 2019 年 12 月

Vol. 40, No. 12 Dec., 2019

家具企业挥发性有机物排放特征及其环境影响

张嘉妮¹,曾春玲¹,刘锐源¹,姚懿娟¹,柯云婷¹,范丽雅^{1,2,3},叶代启^{1,2,3}*

(1. 华南理工大学环境与能源学院,广州 510006; 2. 挥发性有机物污染治理技术与装备国家工程实验室,广州 510006; 3. 广东省大气环境与污染控制重点实验室,广州 510006)

摘要:家具制造业是典型的高污染低附加值、工艺相对落后、污染治理水平低和挥发性有机物(VOCs)排放较为严重的行业, 是我国 VOCs 防治的重点行业. 本文以典型家具制造企业为研究对象,开展家具制造业 VOCs 排放特征和环境影响研究,获取 了典型企业 VOCs 排放浓度水平和成分谱,分析了家具制造业 VOCs 的环境影响. 结果表明,封边、底漆、底色、面漆和晾干 等车间 VOCs 浓度范围为 9. 18~181. 58 mg·m⁻³,处理设施出口 VOCs 浓度为 30. 64~155. 94 mg·m⁻³,处理效率为 7. 43%~ 67.14%;车间主要 VOCs 物种为芳香烃、酯类和醛酮类物质;排气筒主要 VOCs 物种为酯类和芳香烃,其次为烷烃类物质;行 业主要 VOCs 物质为乙酸仲丁酯、甲苯、间-二甲苯、甲缩醛和乙苯等. 车间和排气筒 VOCs 平均臭氧生成潜势(OFP)分别为 258.01 mg·m⁻³和289.14 mg·m⁻³,平均二次有机气溶胶生成潜势(SOAFP)分别为148.66 mg·m⁻³和165.31 mg·m⁻³,各排放 环节中对 OFP 和 SOAFP 贡献最大的皆为芳香烃类物质,封边车间的 OFP 和 SOAFP 较大,应加强控制. 车间边界 VOCs 中主 要恶臭物质为乙酸仲丁酯、间-二甲苯、乙酸丁酯、对-二甲苯、乙苯、1-乙基-3-甲基苯、邻-二甲苯和甲苯,厂界 VOCs 几乎不 产生恶臭污染. 建议有针对性地加强芳香烃和酯类物质的控制.

关键词:家具制造;挥发性有机物(VOCs);排放浓度;成分谱;环境影响

中图分类号: X511 文献标识码: A 文章编号: 0250-3301(2019)12-5240-10 DOI: 10.13227/j. hjkx. 201905046

Compound Emission Volatile **Organic** Characteristics of Furniture Manufacturing Enterprises and the Influence on the Atmospheric Environment

ZHANG Jia-mi¹, ZENG Chun-ling¹, LIU Rui-yuan¹, YAO Yi-juan¹, KE Yun-ting¹, FAN Li-ya^{1,2,3} YE Dai-qi^{1,2,3}*

(1. School of Environment and Energy, South China University of Technology, Guangzhou 510006, China; 2. National Engineering Laboratory for VOCs Pollution Control Technology and Equipment, Guangzhou 510006, China; 3. Guangdong Provincial Key Laboratory of Atmospheric Environment and Pollution Control, Guangzhou 510006, China)

Abstract: The furniture manufacturing industry is a typical industry with high pollution, low added value, relatively outdated technology and low levels of pollution control. The process of furniture manufacturing uses a large number of paints and adhesives, which emit a great quantity of volatile organic compounds (VOCs). The furniture manufacturing industry is a key industry for the control of VOCs in China. The VOCs emission characteristics and environmental impact of the furniture manufacturing industry has been studied in this work, which could be helpful for the Chinese government when formulating VOCs pollution control policy for this industry. In this study, a typical furniture manufacturing enterprise was chosen as the object. The emission concentration level and source profile of VOCs in a typical enterprise was obtained, and an assessment of the environmental impact of furniture manufacturing was developed. The results showed that the concentration of VOCs in the workshop ranged from 9.18 to 181.58 mg·m⁻³, the concentration of VOCs in the stack was 30.64-155.94 mg·m⁻³, and the treatment efficiency was 7.43%-67.14%. The main species of VOCs in the workshop were aromatic hydrocarbons, esters, and aldehydes and ketones; the main species of VOCs in the stack are esters and aromatic hydrocarbons, followed by alkanes, and the main VOCs in the industry are sec-butyl acetate, toluene, m-xylene, methylal and ethylbenzene. The average ozone generation potential (OFP) of workshop and stack VOCs was 258.01 and 289.14 mg·m⁻³, respectively, and the average secondary organic aerosol generation potential (SOAFP) of workshop and stack VOCs was 148.66 and 165.31 mg·m⁻³, respectively. The most important contribution to the OFP and SOAFP in each emission sector is aromatic hydrocarbons. The OFP and SOAFP in the edge-sealing workshop are large and the VOCs should be controlled. The main malodorous substances at the shop boundary are sec-butyl acetate, m-xylene, butyl acetate, p-xylene, ethylbenzene, 1-ethyl-3-methylbenzene, oxylene, and toluene; the VOCs at the factory boundary produce almost no odor pollution. Targeted enhanced control of aromatic hydrocarbons and esters should be adopted to achieve effective emission reduction of VOCs in furniture manufacturing.

Key words: furniture manufacturing; volatile organic compounds (VOCs); emission concentration; source profile; environmental impact

近年,我国重度空气污染事件频发,以细颗粒物 (PM25)和臭氧(O3)为特征的大气复合污染问题日 益突出[1~3],挥发性有机物(VOCs)作为其重要前体 物,在大气化学反应中扮演着重要角色. 在光照下,

收稿日期: 2019-05-07; 修订日期: 2019-07-11

基金项目: 国家重点研发计划项目(2017YFC0212805);国家污染防

治可行技术指南计划项目(技-2018-004)

张嘉妮(1995~),女,硕士研究生,主要研究方向为大气 环境与污染控制,E-mail:949677364@ qq. com

* 通信作者,E-mail:cedqye@scut.edu.cn

VOCs 和氮氧化物发生化学反应会生成臭氧与二次有机气溶胶,二次有机气溶胶作为大气气溶胶重要的组成部分,约占大气有机气溶胶的 20% ~80% [4,5];此外,VOCs 的排放可能还会产生恶臭.家具制造业是典型的高污染低附加值、工艺相对落后、污染治理水平低、VOCs 排放较为严重的行业,是我国 VOCs 防治的重点行业[6,7].

根据行业的生产工艺、排放特征和可能造成的环境影响因业制宜地开展从生产到使用的全过程控制,是实现挥发性有机物减排和改善环境空气质量的主要途径.目前,已有不少学者对家具制造业VOCs 排放特征进行了研究,但大都只关注涂装环节[8~10]或排放系数[11,12],没有进行胶粘剂使用等环节的排放分析;同时目前也鲜有学者专门针对家具制造业排放的 VOCs 对臭氧和二次有机气溶胶(SOA)生成贡献及其恶臭污染等环境影响展开分析,严重影响了家具制造业 VOCs 防治工作的开展.

本文以典型家具制造企业为研究对象,开展典

型家具制造企业 VOCs 排放特征和环境影响研究, 获取典型企业 VOCs 排放浓度水平和成分谱,分析 家具制造业 VOCs 的环境影响,以期为国家开展家 具制造业 VOCs 污染防治工作提供科学依据和技术 支撑.

1 材料与方法

1.1 VOCs 采样和分析

通过书面资料收集、专家咨询以及现场调研, 基于企业规模、生产工艺、所采用的 VOCs 控制技术以及现场监测工作开展的可行性等因素,筛选出典型企业开展现场监测.

1.1.1 采样对象

现场监测企业是一家年营业收入为6 100万元, 职工数为 810 人的中型木质家具制造企业,主要产品为活动家具和固定家具,使用的涂料包括聚氨酯涂料(PU涂料)、硝基涂料(NC涂料)以及紫外光固化涂料(UV涂料)等,各原辅材料的主要组分及其 VOCs 含量如表 1 所示.

表 1 原辅材料主要组分及其 VOCs 含量

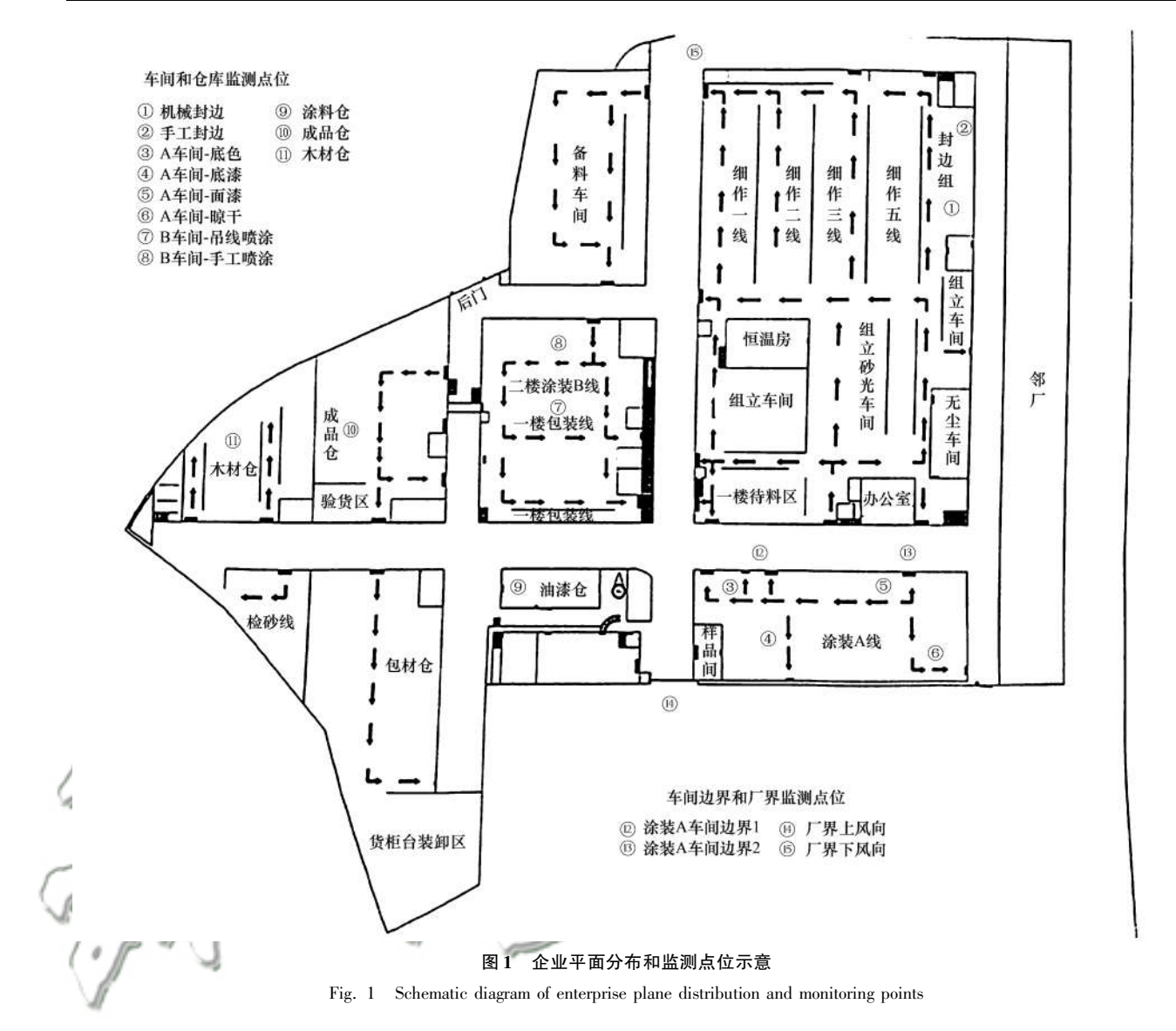
Table 1 Main composition and VOCs content of raw and auxiliary materials

/	1 / / /		1 ()
6	原辅材料名称	主要组分	VOCs 含量/%
	聚氨酯涂料	乙酸丁酯、乙酸乙酯、二甲苯、乙苯、2-丁酮、醇酸树脂、膨润土、硬脂酸锌	38 ~ 65
	硝基涂料	乙酸丁酯、乙酸乙酯、二甲苯、乙苯、丙醇、丙二醇甲醚醋酸酯、树脂1、树脂2、助剂、填料	41 ~75
	UV 涂料	甲苯、乙酸乙酯、乙酸丁酯、二丙酮醇、树脂1、树脂2、添加剂、粉剂、活性单体、光致引发剂	31 ~65
P.	稀释剂	乙酸丁酯、乙酸乙酯、丁醇、乙醇、丙酮、甲苯、二甲苯	100

企业主要工艺为项目原料木材经开料、冷压热 压、封边、成型、砂光和涂装后进行包装,具体流程 根据项目订单要求略有不同. 本次监测时段,该企 业使用 NC 涂料进行涂装,且未进行木材的冷压和 热压,故该企业涉及 VOCs 排放环节为封边、调漆、 底色、底漆、面漆和晾干等. 该企业设有备料车间、 木工车间、涂装 A 车间和涂装 B 车间 4 个生产车 间,木材仓、涂料仓和成品仓这3个仓库,调漆直接 在涂料仓进行,未设置单独的调漆间. 涂装 A 车间 设有4个底漆、2个底色和2个面漆涂装点,均采用 喷涂工艺,在喷柜中完成,且每个喷柜配置一套集气 罩点对点收集活性炭吸附组合紫外光催化氧化设施 对含 VOCs 废气进行收集处理,此外涂装 A 车间还 设有晾干区:涂装 B 车间分为吊线喷涂和手工喷涂 两条线,各涂装过程直接在车间中进行,对整个车间 废气进行整体收集后采用多套活性炭吸附组合紫外 光催化氧化设施进行处理,其他车间未配置 VOCs 收集处理装置. 涂装 A 车间的 VOCs 收集处理设施 是对各涂装环节分开收集和处理的,比混合收集和 处理底漆、色漆和面漆喷涂等环节废气的涂装 B 车 间的 VOCs 收集处理设施更具代表性,因此本研究中仅对涂装 A 车间各排气筒进出口 VOCs 进行监测. 此外,分别在 A 车间的 4 个底漆、2 个底色和 2 个面漆喷柜中各选取 1 个进行监测,企业平面分布和监测点位示意如图 1 所示.

1.1.2 样品采集与分析

挥发性有机物样品采集通常可分为离线和在线两类方式;其中,离线采样包括罐采样和气袋采样等全空气采样、吸附剂采样以及衍生化采样,而在线采样则为低温捕集法^[13].根据 HJ/T 397、HJ 194、HJ 732、HJ 759、HJ 644、HJ 734 和 GB/T 16157等标准,结合企业现场调研情况,本研究中采用吸附管采样的方法采集排气筒进出口、车间气体及车间边界空气,采用罐采样的方法采集厂界空气.吸附管使用 HJ 734^[14]规定采用的组合管 1~3,采样泵为深圳国技仪器有限公司 EM-300 防爆个体恒流采样器,量程范围为 20~200 mL·min⁻¹,示值误差不超过±3%;采用美国 ENTECH 容积为3.2 L的SUMMA 罐以及型号为 CS1200E 的真空压力计.吸附管采集的样品采用全自动热脱附-气相色谱质谱



联用仪来进行分析,热脱附仪型号为 Perkin Elmer Turbo Matrix TD,气相色谱质谱仪型号为岛津 GCMS-QP2010 Ultra;SUMMA 罐采集的样品采用全自动预浓缩-气相色谱质谱联用仪来进行分析,预浓缩仪型号为 Entech7200,BCT. TECHNOLOGY CO.,LTD;气相色谱质谱仪型号为 Agilent 7890B-5977B. 采样和分析严格按照上述标准要求进行.包括空白样和平行样在内共采集 98 个吸附管有效样品和 5

个 SUMMA 罐有效样品.

1.1.3 质量保证与质量控制

样品采集和分析严格按照标准规定进行,质量控制贯穿采样点位布设、采样前准备、现场样品采集、样品保存与运输、样品分析以及数据处理等全过程以实现质量保证.

(1)采样前,进行吸附管老化、SUMMA罐清洗 和抽真空以及重复使用的连接管件和接头的清洗工 作,老化后的吸附管的两端立即用密封帽密封,放入 气密性好的密封袋后使用锡箔纸包裹存放于装有活 性炭的盒子中,4℃干燥保存,一周内使用. 每批次随机抽取20%的吸附采样管和一个SUMMA罐进行空白检验,保证目标化合物浓度小于检出限.

- (2)现场用吸附管采集样品时,调节采样器为恒容采样模式,以保证采样体积的准确性;将吸附管包裹在冰袋中进行样品采集,使吸附温度保持在0~4℃以保证吸附管的吸附质量.每个吸附管采样点位均设置平行样采集.吸附采样管采样后,立即把采样管两端采用密封帽密封,用铝箔包裹装入密封袋中,于4℃避光干燥保存,在一周内分析完成.
- (3)SUMMA 罐清洗以及采样完成后,将阀门完全关闭,为避免外界气体进入污染采样罐或采样样品,立即将其采样口用密封帽进行密封. 每批次SUMMA 罐设置一个平行样.
- (4)保证采样前准备过程、采样物品和样品的运输和保存过程以及实验室分析过程的洁净性,降低外界干扰.设置实验室空白、运输空白及全程序空白样,扣除本底值减少误差.

(5)购买美国 Spectra Gases Inc 的 PAMS 和 TO-15 标准气体来建立多点校准工作曲线,各物质的标准曲线的相关系数为 0.92~0.999 不等,线性显著;吸附管和 SUMMA 罐的平行样的相对偏差均小于15%.

1.2 VOCs 环境影响分析

1.2.1 臭氧生成贡献分析

臭氧生成潜势(OFP)表示挥发性有机物在最佳条件下对臭氧生成的贡献,其大小主要取决于VOCs物种的浓度及其反应活性,OFP的估算方法主要有最大增量反应活性法、光化学臭氧生成潜势法及OH消耗速率法,其中,最大增量反应活性(MIR)法因综合考虑了挥发性有机物的动力学活性和反应机制活性,被广泛应用于OFP的计算[15~17].

$$OFP_i = VOC_i \times MIR_i \tag{1}$$

式中, OFP_i 为第 i 种 VOC 的臭氧生成潜势, $mg \cdot m^{-3}$; VOC_i 为第 i 种 VOC 的排放浓度, $mg \cdot m^{-3}$; MIR_i 为第 i 种 VOC 的最大增量反应活性.

因家具制造业无组织排放占有一定的比例,故本研究将分别对车间和排气筒排放的 VOCs 的 OFP 展开分析,本研究中的 MIR 值均引自 Carter 等^[18]的研究成果.

1.2.2 二次有机气溶胶生成贡献分析

VOCs 的二次有机气溶胶生成贡献常用二次有机气溶胶生成潜势(SOAFP)来描述,目前,SOAFP估算方法主要包括气溶胶生成系数(FAC)法、OC/EC 比值法、水溶性有机物法、受体模型法以及示踪物-产率法等,其中,FAC 法被广泛应用[19].

$$SOAFP_i = VOC_i \times FAC_i$$
 (2)
式中, $SOAFP_i$ 为第 i 种 VOC 的二次有机气溶胶生

成潜势, $mg \cdot m^{-3}$; VOC_i 为第 i 种 VOC 的非放浓度, $mg \cdot m^{-3}$; FAC_i 为第 i 种 VOC 的气溶胶生成系数.

因家具制造业无组织排放占有一定的比例,故本研究将分别对车间和排气筒排放的 VOCs 的 SOAFP 展开分析. 本研究中的 FAC 值引自 Grosjean 等^[20]、吕子峰等^[21]以及 Dechapanya 等^[22]的研究成果,若本研究中涉及的物质暂无测定 FAC 值的,暂不纳入计算.

1.2.3 恶臭污染分析

恶臭污染对人的嗅觉刺激程度常用臭气浓度与臭气强度这两个指标来表征. 恶臭气体一般由多种恶臭物质组成,各物质对恶臭的贡献值各不相同. 以各恶臭物质浓度与其嗅阈值的比值,即阈稀释倍数来评估各物质的恶臭贡献值的方法被广泛运用^[23].

$$M_i = \text{VOC}_i / O_i \tag{3}$$

式中, M_i 为第 i 种 VOC 的國稀释倍数;VOC_i 为第 i 种 VOC 的排放浓度,×10⁻⁶; O_i 为第 i 种 VOC 的嗅國值,×10⁻⁶.本研究中各物质的嗅阈值引自 Yoshio^[24]和加藤龙夫等^[25]的研究成果,若本研究中涉及的物质暂无测定嗅阈值的,暂不纳入计算.

2 结果与讨论

2.1 VOCs 排放浓度特征

车间与仓库 VOCs 浓度监测结果如图 2. 生产 车间各工段 VOCs 浓度为 9.18~181.58 mg·m⁻³不 等,木工车间、涂装 A 车间和涂装 B 车间的平均 VOCs 浓度分别为 62.11、93.36 和 15.72 mg·m⁻³. 木工车间机械封边与手工封边工段 VOCs 浓度相 近,分别为60.19 mg·m⁻³和64.03 mg·m⁻³;涂装A 车间各工段 VOCs 浓度相差较大,其中底色工段 VOCs 浓度最低, 为 9.18 mg·m⁻³, 晾干工段 VOCs 浓度最高,为181.58 mg·m⁻³,底漆和面漆工段浓度 分别为 37.15 mg·m⁻³和 145.54 mg·m⁻³;涂装 B 车 间吊线喷涂和手工喷涂工段 VOCs 浓度分别为 16.81 mg·m⁻³和14.63 mg·m⁻³,浓度远低于涂装 A 车间,这可能是因为涂装 B 车间吊线喷涂和手工喷 涂工段的涂装作业面积、喷涂频次以及涂料使用量 都远低于涂装 A 车间而导致的. 此外,木材仓、涂 料仓和成品仓 VOCs 浓度分别为 2.36、84.85 和 5.80 mg·m⁻³,因调漆直接在涂料仓进行,而导致涂 料仓浓度较大,后文将涂料仓称为调漆间. 对涂装 A 车间的车间边界和厂界进行监测,结果显示其车 间边界浓度为 66.77 mg·m⁻³和 23.45 mg·m⁻³;厂 界上下风向浓度分别为 0.41 mg·m⁻³ 和 1.60 $mg \cdot m^{-3}$.

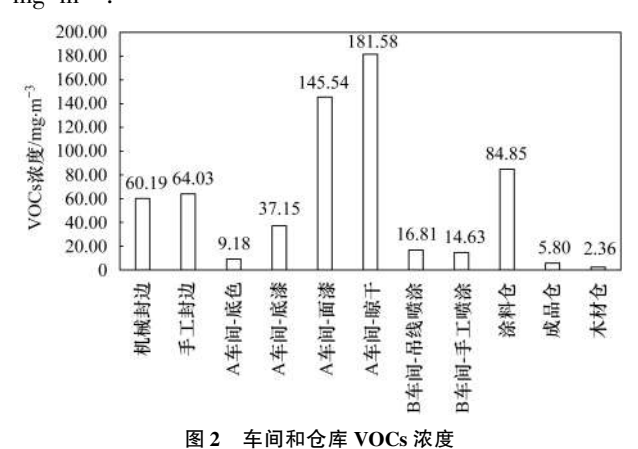


Fig. 2 VOCs concentration of workshops and warehouses

采用活性炭吸附组合紫外光催化氧化设施处理喷涂车间含 VOCs 废气,有组织 VOCs 排放浓度监测结果如图 3 所示. 处理设施进口 VOCs 的浓度为 36.85~231.45 mg·m⁻³,出口 VOCs 浓

度为 30.64~155.94 mg·m⁻³.由图 2 和图 3 可知,车间与排气筒的 VOCs 浓度分布情况较为一致,皆为底漆、面漆涂装工段对应浓度高于底色涂装工段对应浓度.其中,底漆废气处理设施出口 VOCs 平均浓度为 83.55 mg·m⁻³,对应进口 VOCs 平均浓度为 158.35 mg·m⁻³;面漆废气处理设施出口 VOCs 平均浓度为 154.53 mg·m⁻³,

对应进口 VOCs 平均浓度为 197. 24 mg·m⁻³;底色废气处理设施出口 VOCs 平均浓度为 32. 73 mg·m⁻³,对应进口 VOCs 平均浓度为 63. 78 mg·m⁻³. 该企业采用的活性炭吸附组合紫外光催化氧化设施处理 VOCs 的效率为 7. 43% ~67. 14%不等,应对处理效率较低的系统进行原因分析和维护,以保证 VOCs 的有效削减.

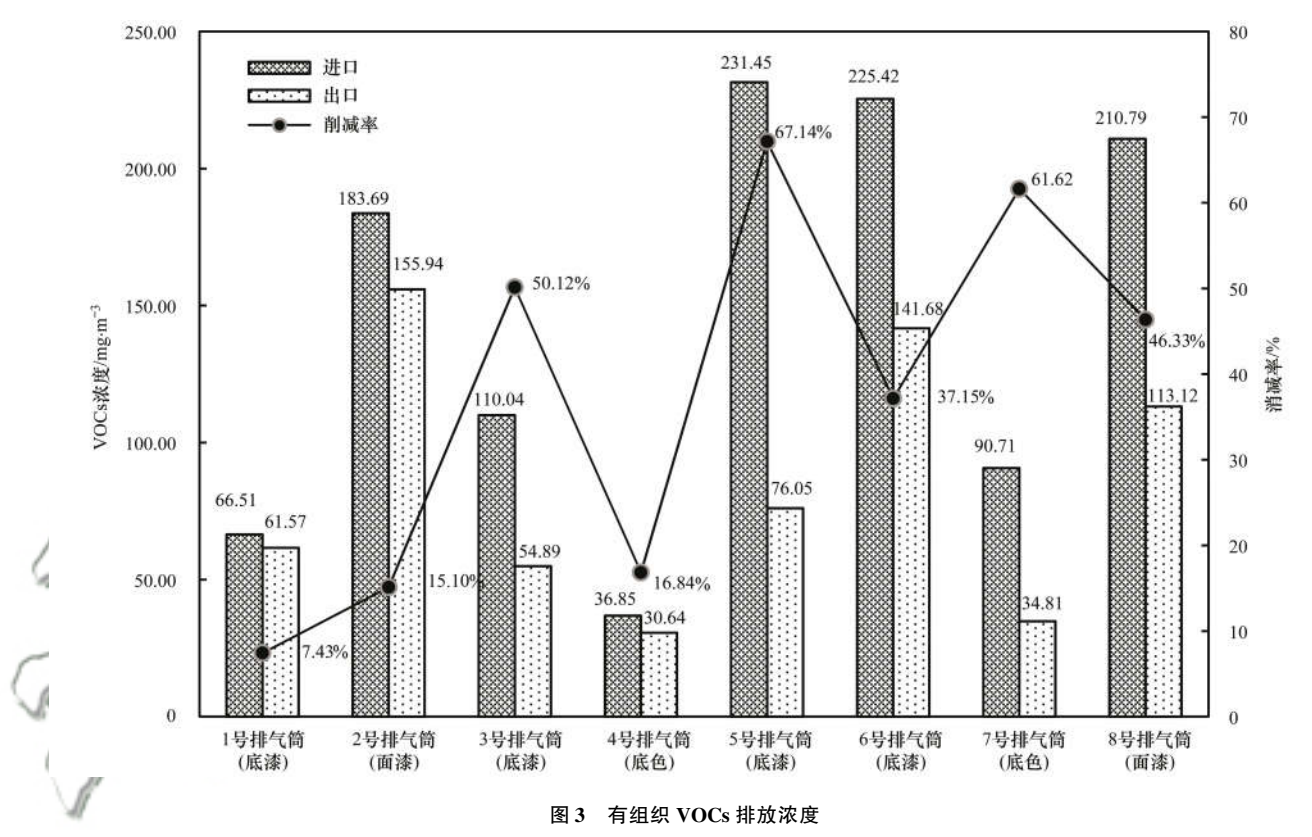


Fig. 3 Organized emisson concentration of VOCs

目前木质家具制造业 VOCs 排放相关研究主要 集中于排放因子,专门针对行业各环节 VOCs 浓度 水平的研究较少,仅有少数学者对木质家具制造业 车间和排气筒出口的 VOCs 浓度进行了研究,且皆 集中于涂装环节, 谭赟华[9] 对 8 家使用溶剂型涂料 的木质家具制造企业的涂装车间进行监测分析,其 车间 VOCs 浓度为 3.84~323.77 mg·m⁻³不等.与本 研究结果较为类似;而洪沁[26]对1家使用溶剂型涂 料的木质家具制造企业的2个涂装车间和1个干燥 车间进行监测分析, 其车间 VOCs 浓度为 1.33~ 3.06 mg·m⁻³不等, 跟本研究结果差异较大. 谭赟 华[9] 只对其中一家企业的一个排气筒出口 VOCs 浓 度进行了监测分析,结果为 35.87 mg·m⁻³;洪沁 等[26]对1家使用溶剂型涂料的木质家具制造企业 的1个排气筒出口进行监测分析,其 VOCs 浓度为 0.69 mg·m⁻³,这些研究样本数较小,且与本研究结 果差异较大.

2.2 VOCs 成分谱

对监测的所有车间、排气筒和仓库等的 VOCs 组分进行综合分析,将各 VOCs 组分归为烷烃类、烯烃类、芳香烃类、醇醚类、醛酮类、酯类和其他 这7大类,得到家具制造业 VOCs 成分谱如表 2 所示.

由表 2 可知,总的来说,车间主要 VOCs 物质为 芳香烃、酯类和醛酮类物质,平均占比为 29.87%、27.08%和 24.42%;排气筒主要 VOCs 物种为酯类和芳香烃,平均占比为 32.39%和 31.45%,其次为烷烃类物质;成品仓和木材仓主要 VOCs 物种为芳香烃,占比依次为 71.53%和 70.24%,其次为酯类物质;车间边界主要 VOCs 物种为酯类物质,占比为 62.81%,其次为芳香烃.各车间具体物种占比稍有差异,封边车间以芳香烃为主,其次为酯类物质;底色和晾干车间主要物种为酯类和芳香烃;底漆车间以酯类物质为主,其次为芳香烃;面漆车间主要物种

表 2 家具制造业 VOCs 成分谱/%

Table 2	VOCs source	profile of	furniture	manufacturing	industry/%
---------	-------------	------------	-----------	---------------	------------

	Table 2 VOCs source profile of furniture manufacturing industry/%													
物种名称	封边 车间	底色 车间	底漆 车间	面漆 车间	晾干 车间	调漆间	所有 车间	底漆 排气筒	底色 排气筒	面漆 排气筒	所有 排气筒	成品仓	木材仓	车间 边界
烷烃	n. d.	n. d.	1.54	7. 05	7. 11	9. 27	11.68	26. 47	12. 32	3. 27	18. 17	6. 52	9. 56	n. d.
2-甲基丁烷	n. d.	n. d.	n. d.	n. d.	n. d.	n. d.	n. d.	n. d.	n. d.	n. d.	n. d.	5. 30	9.56	n. d.
2,3-二甲基丁烷	n. d.	n. d.	n. d.	n. d.	n. d.	n. d.	n. d.	0.80	n. d.	n. d.	0. 78	n. d.	n. d.	n. d.
环戊烷	n. d.	n. d.	1.54	n. d.	n. d.	n. d.	0.56	n. d.	n. d.	n. d.	n. d.	n. d.	n. d.	n. d.
2-甲基戊烷	n. d.	n. d.	n. d.	2.56	1.97	1. 29	2. 73	3. 95	2. 19	0.89	1. 93	n. d.	n. d.	n. d.
3-甲基戊烷	n. d.	n. d.	n. d.	2.05	1.56	1. 11	2. 19	2. 97	1.70	0.70	1. 47	n. d.	n. d.	n. d.
己烷	n. d.	n. d.	n. d.	n. d.	1.33	1. 54	1.81	1.89	1.68	0.77	1. 15	1. 22	n. d.	n. d.
甲基环戊烷	n. d.	n. d.	n. d.	0. 79	0.75	1. 18	1. 14	2.70	1. 12	n. d.	1.50	n. d.	n. d.	n. d.
2,4-二甲基戊烷	n. d.	n. d.	n. d.	0. 95	0.82	1. 84	1. 44	3. 01	2. 26	n. d.	1. 85	n. d.	n. d.	n. d.
2,3-二甲基戊烷	n. d.	n. d.	n. d.	n. d.	n. d.	n. d.	n. d.	0. 92	n. d.	n. d.	0. 90	n. d.	n. d.	n. d.
3-甲基己烷	n. d.	n. d.	n. d.	0.71	0.70	1. 51	1. 16	2. 79	2. 14	n. d.	1. 72	n. d.	n. d.	n. d.
1,3-二甲基环戊烷	n. d.	n. d.	n. d.	n. d.	n. d.	n. d.	n. d.	1. 93	n. d.	n. d.	1. 88	n. d.	n. d.	n. d.
1,2-二甲基环戊烷	n. d.	n. d.	n. d.	n. d.	n. d.	n. d.	n. d.	0. 68	n. d.	n. d.	0. 66	n. d.	n. d.	n. d.
庚烷	n. d.	n. d.	n. d.	n. d.	n. d.	0. 80	0. 66	1. 55	1. 23	n. d.	0. 96	n. d.	n. d.	n. d.
甲基环己烷	n. d.	n. d.	n. d.	n. d.	n. d.	n. d.	n. d.	2. 39	n. d.	n. d.	2. 33	n. d.	n. d.	n. d.
3,3-二甲基己烷	n. d.	n. d.	n. d.	n. d.	n. d.	n. d.	n. d.	0. 89	n. d.	0. 91	1. 05	n. d.	ned. #	n. d.
芳香烃	63. 17	43.64	36. 57	22. 99	36. 25	7. 29	29. 87	29. 98	45. 19	32. 95	31. 45	71. 53	70. 24	36. 84
甲苯	12.50	12. 37	11. 47	11. 69	15. 71	2. 83	9. 62	9. 02	6. 93	16. 37	11. 04	11. 78	16. 51	4. 18
乙苯	12. 63	9. 44	7. 21	2. 69	5.37	1. 29	4. 77	3. 38	5. 01	3. 57	3. 26	17. 60	16. 93	7. 40
间-二甲苯	17. 92	11.70	9. 87	4. 54	7.71	1.66	6. 88	5. 49	7. 63	5. 93	5. 29	20. 52	17. 48	11. 69
对-二甲苯	6. 79	3. 97	3.42	1. 59	2.73	0.68	2. 52	1. 90	2. 52	4. 09	2. 73	9. 27	9.90	4. 39
邻-二甲苯	9. 53	6. 16	4. 61	2. 49	4. 15	0. 83	3. 65	3. 09	4. 31	2. 99	2. 82	12. 36	9. 42	6. 26
正丙苯	0. 55	n. d.	n. d.	n/d. /	n.d.	n. d.	0.34	1. 19	1. 47	n.d.	0. 82	n. d.	n. d.	n. d.
1-乙基- 3-甲基苯	0.91	n. d.	n. d.	n.d.	W 10	-n. d.	0.56	1.49	5. 83	n. d.	1. 13	n. d. /	n. d.	0.77
1-乙基-2-甲基苯	0. 63	n. d.	n. d.	n. d.	n. d.	n. d.	0.39	1. 42	2. 54	n. d.	1. 12	n. d.	n. d. 🖫	0. 62
1,2,3-三甲苯	0. 53	n. d.	n. d.	n.d.	n.d.	n. d.	0.33	1. 02	1. 70	n. d.	0. 78	n. d.	n. d.	0. 52
1,3,5-三甲苯	1. 18	n. d.	n. d.	n. d.	0. 58	n. d.	0.82	1. 97	5. 51	n. d.	1. 88	n. d.	n. d.	1. 01
1,2,4-三甲苯	n. d.	n. d.	n. d.	n. d.	n. d.	n. d.	n. d.	0.00	1.72	n. d.	0. 57	n. d.	n. d.	n. d.
醛酮类	1. 98	1. 14	4. 10	31. 98	11. 37	60. 08	24. 42	5. 74	2. 94	16. 47	10. 17	n. d.	n. d.	0.36
丙酮	n. d.	n. d.	n. d.	0. 94	n. d.	1.05	1. 10	0.90	n. d.	n. d.	0.88	n. d.	n. d.	n. d.
甲缩醛	1. 15	n. d.	3.04	29.49	9.69	58.44	21.80	4. 03	1.89	14. 98	8. 24	n. d.	n. d.	n. d.
2-丁酮	n. d.	n. d.	n. d.	0.35	n. d.	0.58	0.49	n. d.	n. d.	n. d.	n. d.	n. d.	n. d.	n. d.
甲基异丁基酮	0.84	1.14	1.05	1.21	1.68	n. d.	1.03	0.80	1.05	1.49	1.04	n. d.	n. d.	0.36
酯类	33.87	52.77	52. 81	27. 03	40. 36	13.70	27.08	31.43	36. 89	38. 59	32. 39	21.96	20. 20	62. 81
乙酸乙酯	1. 28	4. 07	3. 12	3.66	3.62	3.95	2. 56	3. 12	2.71	5. 37	3. 72	n. d.	n. d.	0.37
乙酸仲丁酯	21.65	41.07	42. 03	20.89	30. 79	9.01	19.58	24. 97	29. 75	30.48	25. 09	12.92	11. 25	56. 94
乙酸丁酯	9. 15	7. 63	6. 28	2.47	5. 19	0.75	3.93	2. 14	4. 43	2. 75	2. 42	9. 04	8.95	4. 67
丙二醇甲醚醋酸酯	1.79	n. d.	1.39	n. d.	0.76	n. d.	1.01	1. 19	n. d.	n. d.	1. 16	n. d.	n. d.	0.82
其他	0.98	2.46	4. 98	10.94	4.91	9.66	6.95	6. 39	2.66	8. 72	7. 82	n. d.	n. d.	n. d.
二氯甲烷	0.98	n. d.	1.84	9. 12	4.09	4. 19	4. 97	1. 79	n. d.	5. 55	4. 61	n. d.	n. d.	n. d.
1,2-二氯乙烷	n. d.	2.46	3. 14	1.82	0.82	5.47	1.98	4. 60	2.66	3. 17	3. 21	n. d.	n. d.	n. d.
烯烃	n. d.	n. d.	n. d.	n. d.	n. d.	n. d.	n. d.	n. d.	n. d.	n. d.	n. d.	n. d.	n. d.	n. d.
醇醚类	n. d.	n. d.	n. d.	n. d.	n. d.	n. d.	n. d.	n. d.	n. d.	n. d.	n. d.	n. d.	n. d.	n. d.

为醛酮类、酯类和芳香烃;而调漆间则以醛酮类物质为主. 所有车间、排气筒、仓库和车间边界都未检出烯烃和醇醚类物质.

家具制造业主要 VOCs 物质为乙酸仲丁酯、甲苯、间-二甲苯、甲缩醛和乙苯等,与原辅材料中的主要 VOCs 组分基本一致. 其中,车间平均占比前三的 VOCs 物质为甲缩醛、乙酸仲丁酯和甲苯;排气筒平均占比前三的 VOCs 物质为乙酸仲丁酯、甲苯和甲缩醛;成品仓占比前三的 VOCs 物质为间-二

甲苯、乙苯和乙酸仲丁酯;木材仓占比前三的 VOCs 物质为间-二甲苯、乙苯和甲苯;车间边界占比前三的 VOCs 物质为乙酸仲丁酯、间-二甲苯和乙苯. 各车间和排气筒占比前三的 VOCs 物质稍有差异,封边车间为乙酸仲丁酯、间-二甲苯和乙苯,底色、底漆车间和底色、底漆排气筒为乙酸仲丁酯、甲苯和间-二甲苯,面漆、晾干车间和面漆排气筒为甲缩醛、乙酸仲丁酯和甲苯,调漆间为甲缩醛、乙酸仲丁酯和1,2-二氯乙烷.

莫梓伟等^[27]、田亮等^[28]以及 Zheng 等^[29]国内早期相关研究显示木质家具制造业 VOCs 以芳香烃为主,占比超过50%以上. 近年来,随着环保型原辅材料的使用、配套工艺的改进以及 VOCs 末端处理设施的安装,木质家具制造业 VOCs 成分谱发生了较大的改变,方莉等^[30]和本研究结果均表明芳香烃占比下降明显,酯类和醛酮类等含氧 VOCs 总占比已超过芳香烃.

2.3 VOCs 环境影响分析

2.3.1 臭氧生成贡献分析

假设车间 VOCs 以其车间内监测浓度无组织排放,对车间和排气筒排放的 VOCs 的 OFP 进行分析,结果表明:车间和排气筒 VOCs 平均 OFP 分别为258.01 mg·m⁻³和289.14 mg·m⁻³,其中,封边、底色、底漆、面漆和晾干车间以及调漆间 VOCs 的OFP 分别为279.23、28.50、102.15、83.89、489.56和105.56 mg·m⁻³,底色、底漆和面漆排气筒 VOCs 的OFP 依次为138.04、286.19和348.02 mg·m⁻³;成品仓和木材仓 VOCs 的OFP 分别为

27.63 mg·m⁻³和10.57 mg·m⁻³.封边车间、底色车间、成品仓、木材仓和底色排气筒单位 VOCs 的臭氧生成量较大,为3.10~4.41 不等,除封边车间外,由于这些排放环节 VOCs 浓度不大,其 OFP 亦非十分突出.

对比各排放环节各大类 VOCs 的臭氧生成潜势占比,如图 4 所示. 车间、排气筒、成品仓和木材仓 VOCs 中对臭氧生成潜势贡献最大的为芳香烃类物质,占比分别高达 72.93%、73.89%、94.25%和 93.17%,而芳香烃类物质对各环节 VOCs 浓度贡献仅依次为 29.87%、31.45%、71.53%和 70.24%. 车间对臭氧生成潜势贡献较大的前 10 种物质分别为间-二甲苯、甲苯、乙苯、1,3,5-三甲苯、1-乙基-3-甲基苯和2-甲基戊烷,排气筒对臭氧生成潜势贡献较大的前 10 种物质为间-二甲苯、甲苯、1,3,5-三甲苯、次-二甲苯、乙酸仲丁酯、对-二甲苯、乙苯、1,2,3-三甲苯、乙酸仲丁酯、对-二甲苯、乙苯、1,2,3-三甲苯、乙基-3-甲基苯和甲缩醛.

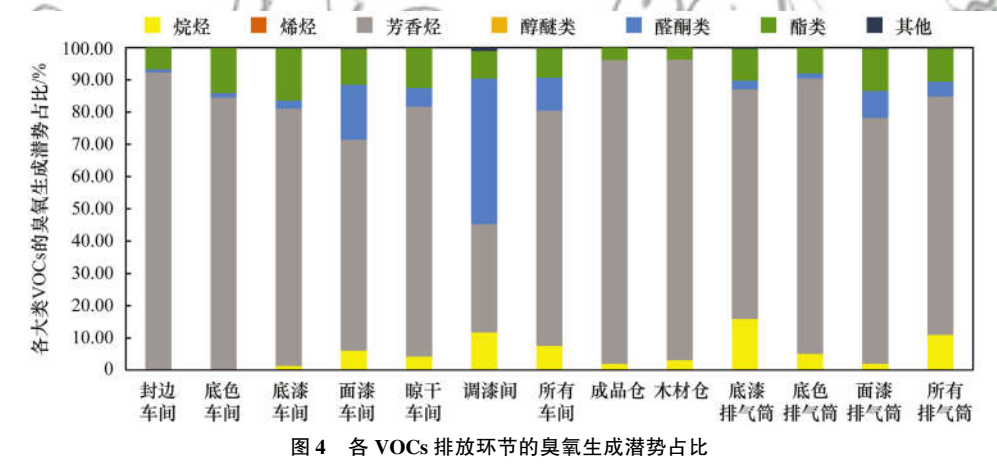


Fig. 4 Ozone generation potential of each VOCs emission sector

2.3.2 二次有机气溶胶生成贡献分析

假设车间 VOCs 以其车间内监测浓度无组织排放,对车间和排气筒排放的 VOCs 的 SOAFP 进行分析,结果显示:车间和排气筒 VOCs 平均 SOAFP 分别为 148.66 mg·m⁻³ 和 165.31 mg·m⁻³,其中,封边、底色、底漆、面漆和晾干车间以及调漆间 VOCs 的 SOAFP 分别为 186.13、19.27、67.58、166.20、321.51 和 30.32 mg·m⁻³,底色、底漆和面漆排气筒 VOCs 的 SOAFP 依次为 74.31、156.95 和 230.43 mg·m⁻³;成品仓和木材仓 VOCs 的 SOAFP 分别为 19.23 和 7.68 mg·m⁻³. 封边车间、底色车间、成品仓、木材仓和底色排气筒单位 VOCs 的二次有机气溶胶生成量较大,为 2.05~3.32 不等,其中,除封边车间外,由于这些环节 VOCs 浓度不大,其 SOAFP亦非十分突出。封边车间 VOCs 的 OFP 和 SOAFP

较大,但目前绝大部分企业没有对封边等胶粘环节产生的 VOCs 进行收集和处理,应加强控制.

对比各排放环节各大类 VOCs 物质的 SOAFP 占比,各排放环节的 VOCs 组分中只有部分烷烃和 芳香烃类物质有对应的 FAC 值,而烯烃、醇醚类、醛酮类、酯类及其他物质暂无测定 FAC 值而暂未纳入计算,各 VOCs 排放环节各大类物质的 SOAFP 占比如图 5 所示. 车间、排气筒、成品仓和木材仓 VOCs 中对二次有机气溶胶生成潜势贡献最大的为 芳香烃类物质,占比分别高达 98. 19%、95. 42%、100. 00% 和 100. 00%,而芳香烃类物质对各环节 VOCs 浓度贡献仅依次为 29. 87%、31. 45%、71. 53%和 70. 24%. 车间对 SOAFP 贡献较大的前 10 种物质分别为甲苯、间-二甲苯、乙苯、邻-二甲苯、对-二甲苯、1-乙基-3-甲基苯、1,3,5-三甲苯、

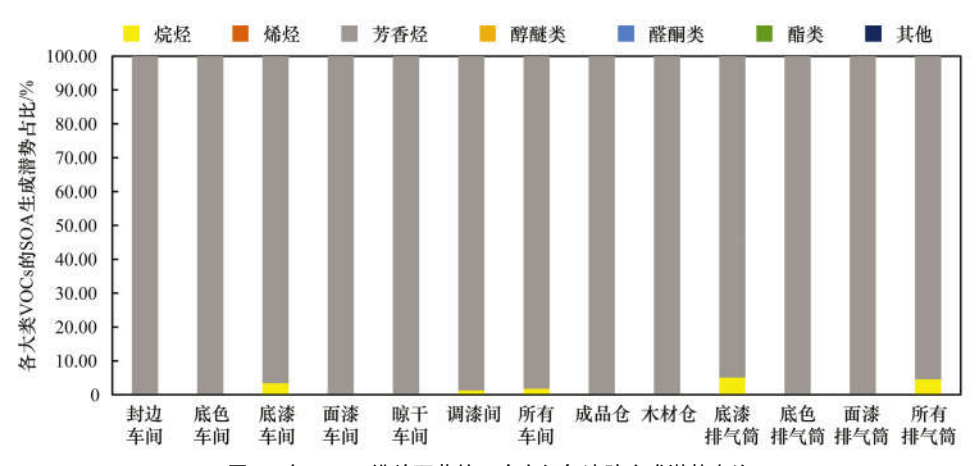


图 5 各 VOCs 排放环节的二次有机气溶胶生成潜势占比

Fig. 5 Secondary organic aerosol generation potential of each VOCs emission sector

环戊烷、1-乙基-2-甲基苯和1,2,3-三甲苯,排气筒对 SOAFP 贡献较大的前10种物质为甲苯、间-二甲苯、乙苯、邻-二甲苯、1-乙基-3-甲基苯、甲基环己烷、1-乙基-2-甲基苯、1,3,5-三甲苯、对-二甲苯和1,2,3-三甲苯.

2.3.3 恶臭污染分析

对车间边界和厂界上下风向的 VOCs 的恶臭影响进行分析,结果如表 3 所示,车间边界主要恶臭物质为乙酸仲丁酯、间-二甲苯、乙酸丁酯、对-二甲苯、乙苯、1-乙基-3-甲基苯、邻-二甲苯和甲苯,厂

表 3 车间边界和厂界 VOCs 恶臭影响

- /	车间边界	11.	1046	\$	10	界		91
物质名称	嗅阈值×10 -6	國稀释倍数	物质名称	嗅阈值×10 -6	阈稀释倍数	物质名称	嗅阈值×10-6	阈稀释倍数
乙酸仲丁酯	0. 002 4	2. 09E + 03	间-二甲苯	0.041	6. 70E - 01	正己烷	1.5	4. 12E – 03
间-二甲苯	0. 04	2.75E + 01	苯乙烯	0. 035	2. 96E - 01	二硫化碳	0. 21	7.00E - 04
乙酸丁酯	0. 016	2. 57E + 01	对-二甲苯	0. 058	2.18E - 01	苯	2.7	4. 30E - 04
对-二甲苯	0. 058	7.30E + 00	乙苯	0. 17	$1.27\mathrm{E}-01$	三氯乙烯	3.9	3.34E - 04
乙苯	0. 17	4. 20E +00	甲苯	0. 33	1.13E - 01	丙烯	13	2.52E - 04
1-乙基-3-甲基苯	0. 018	3.63E + 00	1,2,4-三甲基苯	0. 12	6.55E - 02	1,1,2-三氯乙烷	3.9	1.76E - 04
邻-二甲苯	0.38	1.59E + 00	邻-二甲苯	0.38	4.40E - 02	丙酮	42	1.69E - 04
甲苯	0. 33	1.41E + 00	乙酸乙酯	0.87	4.08E - 02	二氯甲烷	160	9. 50E - 05
1-乙基-2-甲基苯	0. 074	7.15E - 01	1,3,5-三甲基苯	0. 17	1.15E - 02	氯仿	3.8	5.24E - 05
1,3,5-三甲苯	0. 17	5.08E - 01	甲乙酮	0. 44	1.09E - 02	异丙醇	26	4.98E - 05
甲基异丁基酮	0. 17	2. 14E -01	2-己酮	0. 5	7.39E - 03	四氯化碳	4. 6	1.65E - 05
乙酸乙酯	0. 87	4. 96E - 02	正庚烷	0. 67	4.43E - 03			

Table 3 Odor effects of VOCs at the boundary of workshop and factory

界 VOCs 几乎不产生恶臭污染.

3 结论

- (1) 封边、底色、底漆、面漆、晾干等车间及调漆间 VOCs 浓度为 9. 18~181. 58 mg·m⁻³不等,木材仓和成品仓 VOCs 浓度分别为 2. 36 mg·m⁻³和 5. 80 mg·m⁻³,车间边界 VOCs 浓度为 66. 77 mg·m⁻³和 23. 45 mg·m⁻³,厂界上下风向 VOCs 浓度分别为 0. 41 mg·m⁻³和 1. 60 mg·m⁻³.采用活性炭吸附组合紫外光催化氧化设施对废气进行处理,设施进口 VOCs 浓度为 36. 85~231. 45 mg·m⁻³,出口 VOCs 浓度为 30. 64~155. 94 mg·m⁻³,处理效率为 7. 43%~67. 14%.
- (2)车间主要 VOCs 物种为芳香烃、酯类和醛酮类物质;排气筒主要 VOCs 物种为酯类和芳香烃,

其次为烷烃类物质;成品仓和木材仓主要 VOCs 物种为芳香烃,其次为酯类物质;车间边界主要 VOCs 物种为酯类物质,其次为芳香烃. 家具制造业主要 VOCs 物质为乙酸仲丁酯、甲苯、间-二甲苯、甲缩醛和乙苯等.

(3)车间和排气筒 VOCs 平均 OFP 分别为 258.01 和 289.14 mg·m⁻³,其中,晾干和封边车间、底漆和面漆排气筒的 OFP 浓度较大;车间和排气筒 VOCs 平均 SOAFP 分别为 148.66 mg·m⁻³和 165.31 mg·m⁻³,其中,封边、面漆和晾干车间、底漆和面漆排气筒的 SOAFP 浓度较大.封边车间、底色车间、成品仓、木材仓和底色排气筒单位 VOCs 的臭氧生成量和二次有机气溶胶生成量较大,各排放环节中对 OFP 和 SOAFP 贡献最大的皆为芳香烃类物质.车间边界 VOCs 中主要恶臭物质为乙酸仲丁酯、间-

- 二甲苯、乙酸丁酯、对-二甲苯、乙苯、1-乙基-3-甲基苯、邻-二甲苯和甲苯,厂界 VOCs 几乎不产生恶臭污染.
- (4)行业 VOCs 中对环境影响贡献较大的主要为芳香烃和酯类物质,建议有针对性地进行控制;封边车间 VOCs 的 OFP 和 SOAFP 较大,但目前绝大部分企业没有对封边等胶粘环节产生的 VOCs 进行收集和处理,建议加强控制.

参考文献:

- [1] Guo S, Hu M, Zamora M L, et al. Elucidating severe urban haze formation in China[J]. Proceedings of the National Academy of Sciences of the United States of America, 2014, 111 (49): 17373-17378.
- [2] Xue L K, Wang T, Gao J, et al. Ground-level ozone in four Chinese cities: precursors, regional transport and heterogeneous processes [J]. Atmospheric Chemistry and Physics, 2014, 14 (23): 13175-13188.
- [3] Shao M, Zhang Y H, Zeng L M, et al. Ground-level ozone in the Pearl River Delta and the roles of VOC and NO_x in its production
 [J]. Journal of Environmental Management, 2009, 90 (1): 512-518.
- [4] Wang F W, Guo Z G, Lin T, et al. Seasonal variation of carbonaceous pollutants in PM_{2.5} at an urban 'supersite' in Shanghai, China[J]. Chemosphere, 2016, 146: 238-244.
- [5] Zheng J, Hu M, Peng J F, et al. Spatial distributions and chemical properties of PM_{2.5} based on 21 field campaigns at 17 sites in China[J]. Chemosphere, 2016, **159**: 480-487.
- [6] 张嘉妮, 陈小方, 梁小明, 等. "十三五"挥发性有机物总量控制情景分析[J]. 环境科学, 2018, **39**(8): 3544-3551.

 Zhang J N, Chen X F, Liang X M, *et al.* Scenario analyses of the volatile organic compound emission allowance and allocation in the 13th Five-Year period[J]. Environmental Science, 2018, **39**(8): 3544-3551.
- [7] Zhang J N, Xiao J F, Chen X F, et al. Allowance and allocation of industrial volatile organic compounds emission in China for year 2020 and 2030 [J]. Journal of Environmental Sciences, 2018, 69: 155-165.
- [8] 袁纳新, 张具武, 孙平, 等. 木质家具制造产生的粉尘及挥发性有机物分析[J]. 木材工业, 2014, **28**(6): 24-27. Yuan N X, Zhang J W, Sun P, *et al*. Dust and volatile organic compound emissions during wood furniture manufacturing [J]. China Wood Industry, 2014, **28**(6): 24-27.
- [9] 谭赟华. 广东省木制家具行业挥发性有机物(VOCs)排放特征研究[J]. 广东化工,2012,39(1):45-46,76.
 Tan Y H. Study on the emission of volatile organic compounds (VOCs) from woodiness furniture manufacture industry of Guangdong[J]. Guangdong Chemical Industry, 2012,39(1):45-46,76.
- [10] 王红丽,杨肇勋,景盛翱. 工艺过程源和溶剂使用源挥发性有机物排放成分谱研究进展[J]. 环境科学, 2017, **38**(6): 2617-2628.

 Wang H L, Yang Z X, Jing S A, Volatile organic compounds (VOCs) source profiles of industrial processing and solvent use emissions: a review[J]. Environmental Science, 2017, **38**(6): 2617-2628.
- [11] 罗超, 蔡慧华, 刘玲英. 木质家具制造过程 VOCs 排放系数研究[J]. 广东化工, 2012, **39**(8): 77-78. Luo C, Cai H H, Liu L Y. Study on emission factor of VOCs of

- wood furniture manufacturing industry [J]. Guangdong Chemical Industry, 2012, 39(8): 77-78.
- [12] 谢轶嵩, 杨峰, 刘春蕾. 南京市家具行业 VOCs 排放清单及特征[J]. 科技资讯, 2018, **16**(18); 107-109.
- [13] 李悦, 邵敏, 陆思华. 城市大气中挥发性有机化合物监测技术进展[J]. 中国环境监测, 2015, **31**(4): 1-7. Li Y, Shao M, Lu S H. Review on technologies of ambient volatile organic compounds measurement [J]. Environmental Monitoring in China, 2015, **31**(4): 1-7.
- [14] HJ 734-2014, 固定污染源废气 挥发性有机物的测定 固相吸附-热脱附/气相色谱-质谱法[S].
- [15] Wu R R, Xie S D. Spatial distribution of ozone formation in China derived from emissions of speciated volatile organic compounds[J]. Environmental Science & Technology, 2017, 51 (5): 2574-2583.
- [16] Liang X M, Chen X F, Zhang J N, et al. Reactivity-based industrial volatile organic compounds emission inventory and its implications for ozone control strategies in China [J]. Atmospheric Environment, 2017, 162: 115-126.
- [17] 梁小明,张嘉妮、陈小方,等. 我国人为源挥发性有机物反应性排放清单[J]. 环境科学,2017,38(3):845-854.

 Liang X M, Zhang J N, Chen X F, et al. Reactivity-based anthropogenic VOGs emission inventory in China [J].

 Environmental Science, 2017,38(3):845-854.
- [18] Carter W P L. Updated Maximum Incremental Reactivity scale and hydrocarbon bin reactivities for regulatory applications [R]. California, USA: California Air Resources Board Contract, 2010.
- [19] 陈小方,张嘉妮,张伟霞,等. 化工园区挥发性有机物排放 清单及其环境影响[J]. 中国环境科学, 2017, **37** (11): 4062-4071.

 Chen X F, Zhang J N, Zhang W X, et al. VOCs emission inventory of a chemical industry park and its influence on atmospheric environment [J]. China Environmental Science, 2017, **37**(11): 4062-4071.
- [20] Grosjean E, Grosjean D. The reaction of unsaturated aliphatic oxygenates with ozone [J]. Journal of Atmospheric Chemistry, 1999, 32(2): 205-232.
- [21] 吕子峰, 郝吉明, 段菁春, 等. 北京市夏季二次有机气溶胶生成潜势的估算[J]. 环境科学, 2009, **30**(4): 969-975. Lü Z F, Hao J M, Duan J C, *et al.* Estimate of the formation potential of secondary organic aerosol in Beijing summertime[J]. Environmental Science, 2009, **30**(4): 969-975.
- [22] Dechapanya W, Russell M, Allen D T. Estimates of anthropogenic secondary organic aerosol formation in Houston, Texas: special issue of Aerosol science and technology on findings from the fine particulate matter supersites program [J]. Aerosol Science and Technology, 2004, 38(S1): 156-166.
- [23] 石田立, 张伟霞, 陈小方, 等. 汽车制造企业恶臭来源及影响分析[J]. 环境科学, 2018, **39**(2): 557-566. Shi T L, Zhang W X, Chen X F, *et al.* Stench sources and impact analysis in automobile making [J]. Environmental Science, 2018, **39**(2): 557-566.
- [24] Yoshio N. Measurement of odor threshold by triangle odor bag method [A]. In: Odor Measurement Review [C]. Tokyo, Japan: Office of Odor, Noise and Vibration, Environmental Management Bureau, Ministry of Environment, 2004. 118-127.
- [25] 加藤龙夫,石黑智彦,重田芳广.恶臭的仪器分析[M].董福来,荆治严,李桂琴,等译.北京:中国环境科学出版社,1992.
- [26] 洪沁, 常宏宏. 家具涂装行业 VOCs 污染特征分析[J]. 环境

- 工程, 2017, 35(5): 82-86.
- Hong Q, Chang H H. Pollution characteristics analysis of VOCs emitted from furniture painting industry [J]. Environmental Engineering, 2017, 35(5): 82-86.
- [27] 莫梓伟, 牛贺, 陆思华, 等. 长江三角洲地区基于喷涂工艺的溶剂源 VOCs 排放特征 [J]. 环境科学, 2015, **36**(6): 1944-1951.
 - Mo Z W, Niu H, Lu S H, et al. Process-based emission characteristics of volatile organic compounds (VOCs) from paint industry in the Yangtze River Delta, China [J]. Environmental Science, 2015, 36(6): 1944-1951.
- [28] 田亮, 魏巍, 程水源, 等. 典型有机溶剂使用行业 VOCs 成分 谱及臭氧生成潜势[J]. 安全与环境学报, 2017, **17**(1): 314-320.

- Tian L, Wei W, Cheng S Y, et al. Source profiles and ozone formation potential of volatile organic compounds from the use of solvents in typical industry [J]. Journal of Safety and Environment, 2017, 17(1): 314-320.
- [29] Zheng J Y, Yu Y F, Mo Z W, et al. Industrial sector-based volatile organic compound (VOC) source profiles measured in manufacturing facilities in the Pearl River Delta, China [J]. Science of the Total Environment, 2013, 456-457: 127-136.
- [30] 方莉, 刘文文, 陈丹妮, 等. 北京市典型溶剂使用行业 VOCs 成分谱[J]. 环境科学, 2019, **40**(10): 4395-4403.

 Fang L, Liu W W, Chen D N, *et al.* Source profiles of volatile organic compounds (VOCs) from typical industries of solvent use in Beijing[J]. Environmental Science, 2019, **40**(10): 4395-4403.



HUANJING KEXUE

Environmental Science (monthly)

Vol. 40 No. 12 Dec. 15, 2019

CONTENTS

Concentration Characteristics and Assessment of Model-Predicted Results of PM _{2.5} in the Beijing-Tianjin-Hebei Region in Autumn and Winter	
ZHU Yuan-yuan, GAO Yu-xiao, LIU Bing, et a	
Chemical Composition Characteristics and Source Apportionment of PM _{2.5} During the Heating Period of 2016-2017 in the Eastern Part of the North China Plain	· ((5202)
Change in Characteristics of Pollution Gas and Water-soluble Ions at Different Development Stages of Haze	
Exposure Levels, Sources, and Health Risks of Heavy Metal Components of PM _{2.5} in Housewives in Rural Shanghai LUO Ran-ran, DAI Hai-xia, ZHANG Yun-hui, et a	
Measuring the Condensable Particle Matter from a Stationary Source JIANG Jing-kun, DENG Jian-guo, WANG Gang, et a	
Volatile Organic Compound Emission Characteristics of Furniture Manufacturing Enterprises and the Influence on the Atmospheric Environment	
	. (5240)
VOCs Emission Inventory and Impact Range Simulation of Antibiotic Enterprises	
Effects of Vehicle Emissions on Heavy Metals and Polycyclic Aromatic Hydrocarbons Pollution in Road Dust in Xinxiang	
Pollution Characteristics and Exposure Risk Assessment of Perfluoroalkyl Substances in Road Dust, Chengdu	
Characteristics of Stable Isotopes and Analysis of Water Vapor Sources of Precipitation at the Northern Slope of the Qilian Mountains ZHANG Bai-juan, LI Zong-xing, WANG Yu, et al.	
Occurrence Characteristics and Risk Assessment of Antibiotics in Source Water of the Nanjing Reach of the Yangtze River FENG Meng-juan, ZHANG Qin, SONG Ning-hui, et a	
Effects of Different Coagulants on Co-manganese Oxides Filter Media for Removing Ammonium and Manganese from Surface Water in Summer and Autumn CHENG Li-jie, HUNAG Ting-lin, CHENG Ya, et a	. (5004)
Disinfection By-products and the Relevant Health Risk in the Water Supply System in H City of Zhejiang Province LIU Jun-ping, YU Jian-quan, LI Qing-song, et a	
Absorption and Fluorescence Spectra of Dissolved Organic Matter in Rivers of the Three Gorges Reservoir Area Under the Background of Urbanization	
Characteristics of Chromophoric Dissolved Organic Matter (CDOM) in Natural Rivers of Western Sichuan Plateau	
Characteristics of Nitrogen and Phosphorus Losses and Runoff in a Typical Purple Soil Watershed in the Three Gorges Reservoir Area	
CAO Rui-xia, LIU Jing, DENG Kai-kai, et a	. (5330)
Responses of Riverine Phosphorus Exports to Land Use and Hydrological Regime in the Jiulong River Watershed	
Effects of Land Use Types at Different Spatial Scales on Water Quality in Poyang Lake Wetland	
Environmental Significance of Phosphorus Fractions of Phytoplankton-and Macrophyte-Dominated Zones in Taihu Lake	. (5358)
Spatial Distribution and Pollution Evaluation of Carbon, Nitrogen, and Phosphorus in Sediments of Zhushan Bay at Taihu Lake FANG Jia-qi, QI Chuang, ZHANG Xin-hou, et al.	. (5367)
Effect of Rainfall Intensity on the Content of Nitrogen and Phosphorus Components in Plateau Areas: A Case Study of the Fengyu River Watershed	•
LI Xiao-hong, LEI Qiu-liang, ZHOU Jiao-gen, et a	
Water Purification Effect and Saline-alkali Tolerance Improvement Mechanism of Suaeda salsa in the Estuary Area	
Concentration-dependent Accumulation and Translocation of PFASs by Wetland Plant Alisma orientale	
Occurrence of Denitrifying Dephosphatation in a Hybrid Constructed Wetland System and Its Stability	
Comparison of the Control of Sedimentary Phosphorus Release Using Zirconium-, Lanthanum-, and Lanthanum/Zirconium-Modified Zeolites as Sediment Amendments	· - /5411)
Effect of Biochar Structure on Adsorption Characteristics of Ammonia Nitrogen CHEN Mei, WANG Fang, ZHANG De-li, et a	
Effect of Dissolved Oxygen on Partial Nitrification of Suspended and Attached Growth Systems WANG Si-yu, LIU Ling-jie, WANG Fen, et a WANG Si-yu, LIU Ling-jie, WANG Fen, et a	
Effects of Different Intermittent Aeration Strategies on the Start-up of SNAD Process	
Operational Performance and Microbiological Characteristics of an Iron-Salt Denitrification Reactor in Co-substrate Mode	
Effect of Step Aeration on a Municipal Sewage Aerobic Granular Sludge System LI Dong, WEI Zi-qing, LAO Hui-mei, et a	
Improvement of the Dewaterability of Excess Activated Sludge with Mixed Yeasts by Degrading Extracellular Polymeric Substances	
Influence of Land Use Change on Ecosystem Service Value Based on GEE in the Beijing-Tianjin-Hebei Region from 1998 to 2018 LOU Pei-qing, FU Bo-lin, LIN Xing-chen, et a.	
Assessment of Soil Quality in Coastal Tidal Flat Reclamation Areas Based on MDS-TOPSIS Model	. (5484)
Effect of Increasing Tidewater Inundation on Porewater Geochemistries and CO2 and CH4 Effluxes in the Tidal Freshwater Marshes of the Minjiang River Estuary, Southeast China	
LI Jing, HUANG Jia-fang, LUO Min, et a	. (5493)
Methane Emission Characteristics and Its Influencing Factors over Aquaculture Ponds	
Effect of Fertilization on Soil Respiration and Its Temperature Sensitivity in a Sorghum Field	
Land Safety Zoning Method in High-Selenium and High-Cadmium Areas WANG Rui, HOU Wan-ling, LI Yu-tong, et a	
Remediation Effects of Different Composite Materials on Cadmium-Contaminated Farmland Soil	
Hydrocalumite Passivation Effect and Mechanism on Heavy Metals in Different Cd-Contaminated Farmland Soils	
Effects of Conversion of Forest to Arable Land on the Abundance and Structure of the cbbL-Harboring Bacterial Community in Albic Soil of the Hilly Region of Northeast China	
Effects of Conversion of Forest to Arabie Land on the Abundance and Structure of the cool-framouring Bacterial Community in Aibic Soil of the Hilly Region of Northeast Clinia WANG Rui, WU Xian, LI Gang, et a	
Thoughts on and Construction of a Risk Management and Control System for Contaminated Sites in the Guangdong-Hong Kong-Macao Greater Bay Area	
CHANG Chun-ying, DONG Min-gang, DENG Yi-rong, et a	. (5570)
Visualized Quantitative Research of Soil Pollution in the Guangdong-Hong Kong-Macao Greater Bay Area	
Characteristics and Environmental Impacts of Materials Stored in Municipal Solid Waste Landfills; A Case Study of the Guangdong-Hong Kong-Macao Greater Bay Area	
	. (5593)
Heavy Metal Contamination and Migration in Correspondence of an Electroplating Site on the Hilly Lands of the Guangdong-Hong Kong-Macau Greater Bay Area, China	
HOU Wen-juan, GONG Xing, ZHAN Ze-bo, et a	
Pollution Characteristics and Migration of BTEX at a Chemical Contaminated Site in the Guangdong-Hong Kong-Macau Greater Bay Area	
DENG Yi-rong, LU Hai-jian, DONG Min-gang, et a	
Immobilization Impact of Goethite-Fulvic Acid Composites on Pb-Cd Contaminated Soil	
Mobilization of Heavy Metals in a Soil-Plant System and Risk Assessment in the Dabaoshan Mine Area, Guangdong Province, China CHEN Jie-yi, LIU Guang-bo, CUI Jin-li, et a	
Calculation of the Soil Risk Control Value through a Hydrus-1D Model for Groundwater Protection	
INDEA TUANJING NEAUE CUNTENTS 2019, VOI. 40	. (2027)